

水平噴流によつて形成される砂段について

山口大学 齋藤 隆

1. まえがき

先年、水平噴流による洗掘について、洗掘の進行に伴ない洗掘構造が1期、2期、3期と変化していくこと、および、3期洗掘構造についての洗掘構造モデルを発表した。從来、この種の洗掘において、洗掘穴内の砂移動形式の急激な変化は考へられてきた。著者等の発表した3期洗掘においては、洗掘穴内に砂段が形成され、この砂段まで主に掃流形式で移動してきた砂粒が急速に浮遊状態となり、浮遊形式で洗掘穴外に出でて砂量によって洗掘が進行する。したがつて、洗掘穴内に形成される砂段の形状、規模は洗掘の進行に大きな影響を与える。

本報告は水中安息角が盛り上げ砂の斜面に水平噴流を衝突させ、砂の斜面に形成される砂段について、特に砂段法肩の噴き上げ角 θ_s について検討を試みたものである。

2 実験装置および実験方法

実験に用いた水槽は幅17.5cm、長さ200cm、深さ100cmの両側面および底面を有するガラス張りしたものである。水槽の上流端より70cmの位置に流速分布が一様になるように縮流防止板をつけてオリフィス型式の噴流発生装置を設けた。噴出流速は噴流発生装置上下流の水位を調節することによって変化させた。噴出口径は1.0cm、2.0cmとし、実験に使用した砂の粒度特性をもつて均一な砂を用いた。

実験は、まず実験水槽に水を満し、上の砂を静かに沈降させて噴出口前面から安息角 θ_s をもつ砂堆を形成させ、これを初期段状として測定する。このようにして形成した斜面上目的の噴出速度でもつ噴流を衝突させると、斜面上衝突した流れは噴き上げ流れとなり、下図のとおり砂段を形成する。

実験開始後、砂段の法肩の位置は

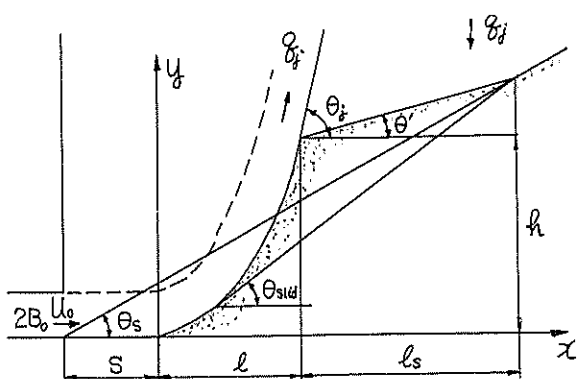
常に下流に移動して10から30~60分を経過するとほとんどの移動は認められなくなり、砂段の形状、規模は一定のものとなる。

3 実験結果

実験開始後1時間後にあける砂段の形状を法肩、法肩間の水平および鉛直距離を基準として示すと図-1となる。また、長さ l との比を $a/\sqrt{2B_0}$

50% 粒径 (cm)	限界摩擦速度 U_{xc} (cm/sec)	沈降速度 W (cm/sec)	安息角 θ_s
0.141	2.92	12.3	32°30'
0.077	2.06	8.33	32°30'
0.027	1.58	3.57	32°30'

図-1



U_0/W_0 に対して 図示したのが図-3である。流路背後の斜面勾配 θ' が噴出口より流域までの距離 S/ℓ と U_0/W_0 に対して 図示したもののが図-4、図-5である。

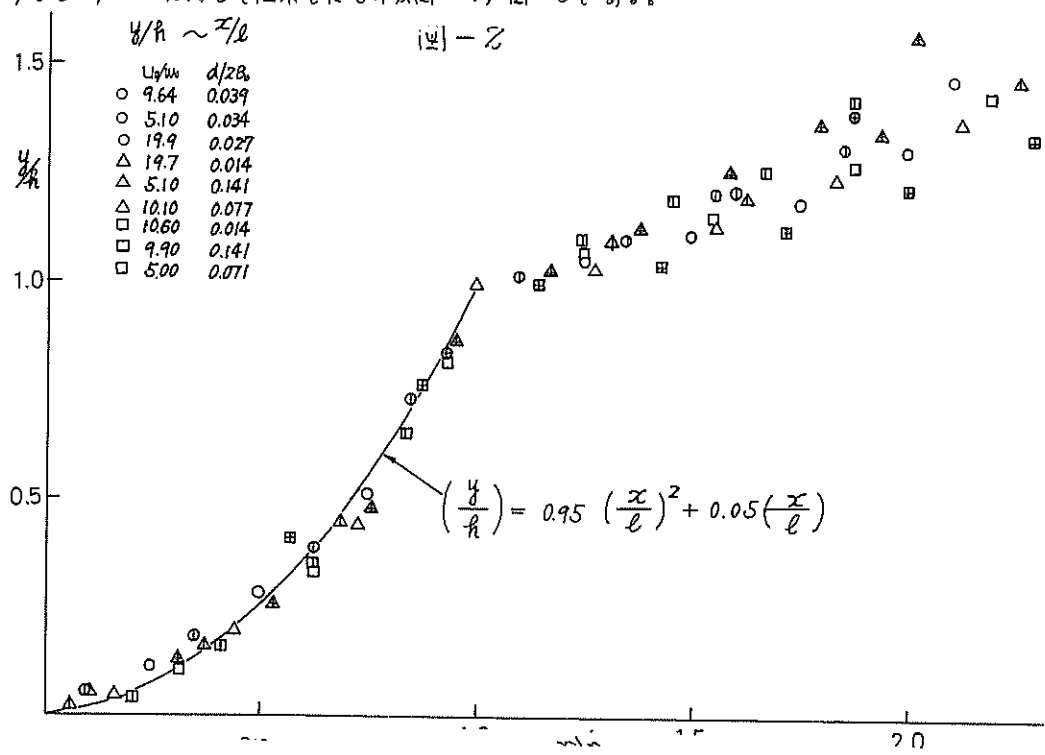
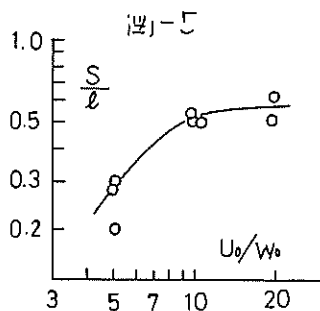
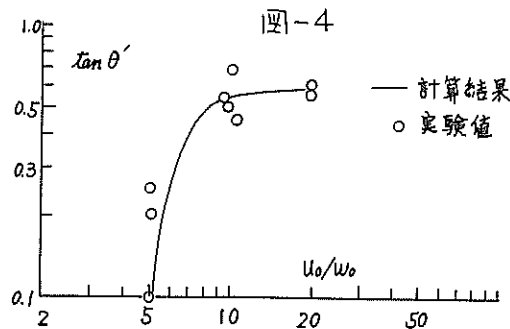
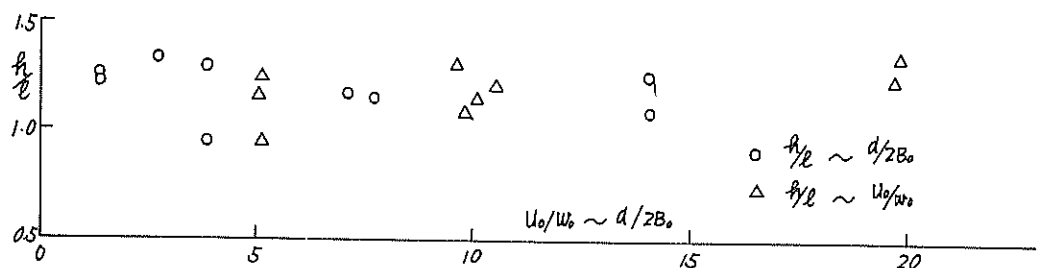


図-3



4 砂段の安定に関する考察

上部の砂段法面のほとんどの部分は水半安息角よりもより急な斜面であることをより、噴流から受けける力と砂段の不安定力との間に力の平衡関係が存在することが考えられる。また、砂段法面で常に砂移動が行なはれておりながら砂段が一定の位置、形状、規模を保つことは砂段に関する一種の砂移動における砂量の平衡関係が考えられる。この力平衡の砂量に関する平衡関係を次に様に考える。

流れの状態としては、法肩までの流過距離は噴流中の5~10倍程度であり、かつ、流れの曲りにも流れの集中なども考慮して図-1に示す様に噴出流速は各々一様な流れとする。砂段の不安定部分は初期砂面と砂段法肩背後の斜面との交換部と砂段法面へ極りに接線より上の部分となると、滑り面の摩擦係数を1.1として力の均衡式が与えられる。

$$sgV_{solid}(\sin\theta_{solid} - \mu \cos\theta_{solid}) = 2B_0 U_0^2 \{1 - \cos(\beta' - \theta_{solid})\} \quad (1)$$

$$\Rightarrow \mu = P_s/P, \quad P_s: \text{砂の密度}, \quad P: \text{水の密度}.$$

法肩から山を走る速さがθをもつ角及び傾き上から山に砂量gが法肩背後の斜面に落下し、斜面上で転落してきて砂段を形成する。砂段の不安定容積V_{solid}は次元的に次の関係が考えられる。

$$V_{solid} \propto (g_f, w_0)^2 \quad (2)$$

式中のg_fは法肩の噴出上部からの砂量であるが、g_fはKalinowski-Brown型の底面型の流动公式を用ひ、 $U_f = U_0/\varphi$ と置くとg_fは次式のようになる

$$\frac{g_f}{\sqrt{sgd^3}} = K \frac{1}{\varphi^{2n}} \left(\frac{w_0^2}{sgd} \right)^{2n} \left(\frac{U_0}{w_0} \right)^{2n} \left\{ 1 - \varphi^2 \left(\frac{U_0^2}{w_0^2} \right) \left(\frac{U_0}{w_0} \right)^{-2} \right\} \left(\frac{1}{\sin\theta_f + \mu \cos\theta_f} \right)^n \quad (3)$$

$$U_0^2 = 1.6 \varphi^2 (\sin\theta_f + \mu \cos\theta_f)$$

(1) 式と(2), (3)式を用ひて書き下すと、

$$\frac{1 - \cos(\theta_f - \theta_{solid})}{\sin\theta_{solid} - \mu \cos\theta_{solid}} = A \left(\frac{U_0}{w_0} \right)^{4n-2} \left\{ 1 - B \left(\frac{U_0}{w_0} \right)^{-2} \right\}^2 \frac{\varphi}{2B_0} \quad (4)$$

$$A = K^2 \frac{1}{\varphi^{4n}} \left(\frac{w_0^2}{sgd} \right)^{4n-4} \left(\frac{1}{\sin\theta_f + \mu \cos\theta_f} \right)^{2n}$$

$$B = g^2 \left(\frac{U_0}{w_0} \right)^2$$

5 実験結果との比較

砂段法面形状を図-2に示す曲線、すなはち、

$$(\theta/e) = 0.95(x/e)^2 + 0.05(x/e)$$

と表わすと、荒流量と堆積量とが等しくなり

$$\frac{1}{2} \left(1 - \frac{s}{e} - \frac{b}{e} \right)^2 \tan\theta_s = 0.342 \frac{s}{e} + \frac{b}{e} \frac{b}{e} + \frac{1}{2} \left(\frac{b}{e} \right)^2 \tan\theta'$$

また、幾何学的関係より

$$(1 - \frac{S}{\ell} + \frac{b_s}{\ell}) \tan \theta_s = \frac{R}{\ell} + \frac{b_s}{\ell} \tan \theta'$$

実験結果として $\ell/b = 1.19$ と S/ℓ の値として図-5 の曲線を利用すると、 R/ℓ と $\tan \theta'$ の値が求められる。この結果より θ_s が決定出来る。

(4) 式中の指數 M は流砂勾式中の指數である。流砂勾式としては Einstein の流砂勾式の値を差し入れるようになると $M = 3/2$ 、また $K = 2.6$ となる。

滑り面の摩擦係数 M の値としては、壁面流砂段における下方の滑り面に直角方向成分の存在するときを考慮して $\tan \theta_s$ に近い値があることより $M = \tan 36^\circ / 1.1$ を用いる。

ϕ と ψ とのものとすると ϕ の値は実験値の平均値として 3.0 なる値となる。 $\sin \phi + M \cos \phi$ を得た上なる値であるものとすると $A = 0.05$ となる。これを用いて $(U_s/U_0)^2 / D^{1/10}$ まで、砂粒が斜面を転落する平均速度は沈降速度の $1/3$ 程度となる。

$A = 0.05$, $B = 3.0$ により式(4) 式より θ_s と θ' を測定値と比較したのが図-6 である。

図-6 の θ_s の計算結果と測

定結果は粒径の大小場合で深

くも非常に大々一一致している。

粒径の大小場合の計算値と

測定値の違いは、砂質表面にお

ける砂粒の移動型式はほとんど

静流状態であるものとして M

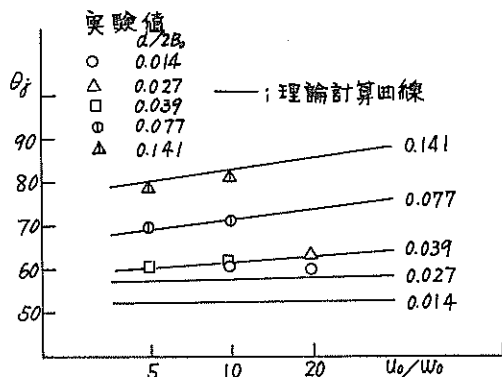
$= 3/2$ と用いたのがあるが、

粒径の大小の場合にはあまり浮

動型式のより考慮すべきもの

とみなすと認められる。

図-6



6 おまけ

以上、砂質下における砂循環の条件、不透水層の平衡条件より求める式と噴き上げ角θの計算値と測定値の一一致は、噴流流れによって形成される砂質の形成構造上述べたものよりも要当なものであることを示すものと考えられる。